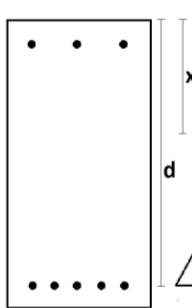


خمش و بار محوری

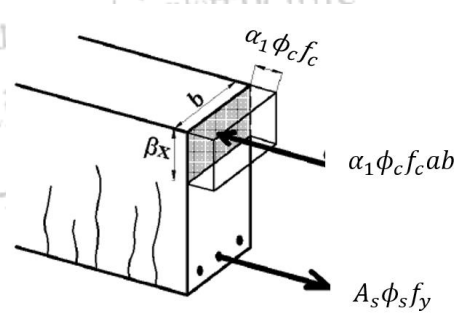
$$E_c = (33 \cdot \sqrt{f_c} + 69 \cdot 0) \left(\frac{\gamma_c}{23} \right)^{1/4}$$

$$\frac{x}{d} = \frac{\varepsilon_{cu}}{\varepsilon_{cu} + \varepsilon_s} \quad (1)$$

$$\frac{x}{d'} = \frac{\varepsilon_{cu}}{\varepsilon_{cu} - \varepsilon'_s} \quad (2)$$



$$f_s' = E_s \varepsilon_s' \\ f_s = E_s \varepsilon_s$$



$$\alpha_1 = +/\pm 15 - / \pm 15 f_c$$

$$\beta_1 = +/\pm 7 - / \pm 25 f_c$$

$$x_b = \frac{\varepsilon_{cu}}{\varepsilon_{cu} + \varepsilon_y} d$$

$$A_{sb} = \alpha_1 \beta_1 \frac{\phi_c f_c}{\phi_s f_y} \frac{\varepsilon_{cu}}{\varepsilon_{cu} + \varepsilon_y} bd \rightarrow \rho_b = \frac{A_{sb}}{bd} = \alpha_1 \beta_1 \frac{\phi_c f_c}{\phi_s f_y} \frac{\varepsilon_{cu}}{\varepsilon_{cu} + \varepsilon_y}$$

$$A_{smax} = \alpha_1 \beta_1 \frac{\phi_c f_c}{\phi_s f_y} \left(\frac{\varepsilon_{cu}}{\varepsilon_{cu} + 0.004} \right) bd \rightarrow \rho_{max} = \frac{A_{smax}}{bd}$$

$$\rho_{min} = \max \left(\frac{1.4}{f_y}, \frac{0.25 \sqrt{f_c}}{f_y} \right) \rightarrow A_{smin} = \rho_{min} \times bd$$

$$\rho_{min_تیرها} = \text{Min} \left[\begin{array}{l} \text{Max} \left(\frac{0.25 \sqrt{f_c}}{F_y}, \frac{1.4}{F_y} \right) \\ 1.33 \times (\text{درصد میلگرد کششی محاسباتی}) \end{array} \right]$$

نکته: در صورت استفاده از بتن های بین رده های C12 تا C50، روابط بالا به صورت زیر ساده می شود:

$$x_b = \frac{700}{700 + f_y} d$$

$$\rho_b = \frac{A_{sb}}{bd} = \alpha_1 \beta_1 \frac{\phi_c f_c}{\phi_s f_y} \frac{700}{700 + f_y}$$

برای تسریع در حل مسائل، تمام پارامترهای لازم که در بالا محاسبه شده است برای بتن ها و فولادهای مختلف، در جداول پیوست جزوی اصلی آمده است.

در حالت حد نهایی مقاومت در یک مقطع، تار خنثی از برابری نیروی فشاری و کششی نهایی به دست می آید.

ب-۱) با فرض جاری شدن فولاد کششی ($\varepsilon_s = \varepsilon_y$) / شکست نرم یا شکست مثبتان:

$$C = T \rightarrow \phi_s A_s f_y = \alpha_1 \phi_c f_c b a \rightarrow a = \frac{\phi_s A_s f_y}{\alpha_1 \phi_c f_c b} \rightarrow x = \frac{\phi_s A_s f_y}{\alpha_1 \beta_1 \phi_c f_c b}$$

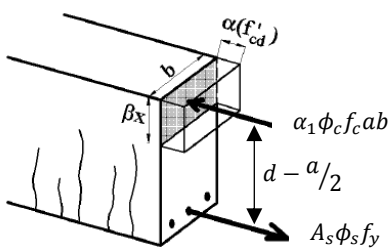
ب-۲) با فرض جاری نشدن فولاد کششی ($f_s < f_y$) / شکست ترد:

$$\phi_s A_s f_s = \alpha_1 \phi_c f_c b a \quad (1)$$

$$f_s = E_s \varepsilon_{cu} \left(\frac{d}{x} - 1 \right) = E_s \varepsilon_{cu} \left(\frac{\beta_1 d}{a} - 1 \right) \quad (2)$$

$$(1) \& (2) \rightarrow \phi_s A_s E_s \varepsilon_{cu} \left(\frac{\beta_1 d}{a} - 1 \right) = \alpha_1 \phi_c f_c b a$$

بعد از حل معادله درجه ۲ شماره (۳)، مقدار a بدست می آید، سپس با رابطه $a = \beta_1 x$ نیز بدست می آید.



محاسبه مقاومت خمشی (طراحی) در حالت بدون فولاد فشاری و با فرض جاری شدن فولاد کششی:

$$\rho = \frac{A_s}{bd}$$

$$M_r = \phi_s A_s f_y \left(d - \frac{a}{2} \right)$$

$$M_r = \phi_s A_s f_y \left(d - \frac{\phi_s A_s f_y}{2\alpha_1 \phi_c f_c b} \right)$$

$$M_r = \rho \phi_s f_y b d^2 \left(1 - \frac{1}{2\alpha_1} \rho \frac{\phi_s f_y}{\phi_c f_c} \right)$$

$$M_r = M_u \rightarrow A_s = \frac{\alpha_1 \phi_c f_c b d}{\phi_s f_y} \left[1 - \sqrt{1 - \frac{2M_u}{\alpha_1 \phi_c f_c b d^2}} \right]$$

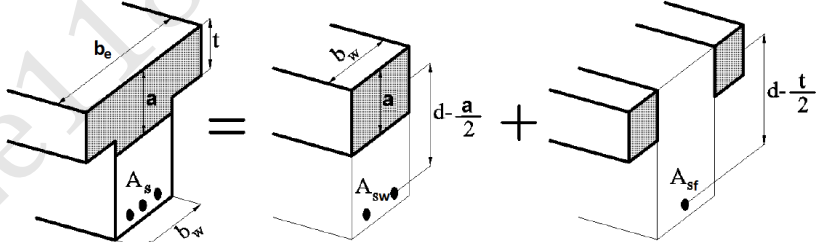
نکته: با استفاده از رابطه تقریبی زیر برای مقاومت مشخصه های حدود ۲۵ مگاپاسکال می توان با تقریب نزدیک A_s محاسبه کرد:

$$A_s = 30 \frac{M_u}{d} \quad \begin{matrix} \text{Ton.m} \\ \text{cm}^2 \\ \text{cm} \end{matrix}$$

$$A_{sf} = \frac{\alpha_1 \phi_c f_c (b - b_w) t}{\phi_s f_y}$$

$$a_{جديد} = \frac{\phi_s f_y (A_s - A_{sf})}{\alpha_1 \phi_c f_c b_w}$$

$$M_r = \phi_s f_y A_{sf} \left(d - \frac{t}{2} \right) + \phi_s f_y (A_s - A_{sf}) \left(d - \frac{a}{2} \right)$$

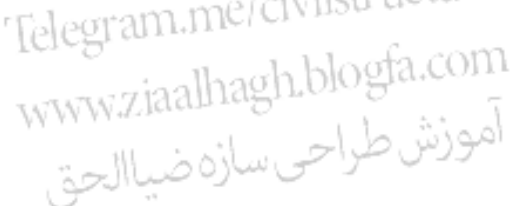


حداکثر فولاد کششی در مقطع T، مجموع حداکثر فولاد کششی در قسمت مستطیلی و فولاد معادل با ناحیه فشاری بال (A_sf) می باشد:

$$A_{max}^{T\text{ مقطع}} = A_{max} + A_{sf}$$

$$A_{max} = \rho_{max} \times b d \quad \leftarrow \text{برای قسمت مستطیلی (طبق جداول)}$$

مقدار ρ_{max} نیز برای مستطیل به ابعاد $b_w d$ به راحتی با توجه به f_c و f_y از جداول بخش محاسبه فولاد حداکثر بدست می آید.



قطع با فولاد فشاری:

$$\overline{A_{sb}} = A_{sb} + \frac{f'_{sb}}{f_y} A'_s$$

$$f'_{sb} = E_s \varepsilon_{cu} - (E_s \varepsilon_{cu} + f_y) \frac{d'}{d} \leq f_y$$

$$\overline{A_{smin}} = \alpha_1 \beta_1 \frac{\phi_c f_c}{\phi_s f_y} \left(\frac{\varepsilon_{cu}}{\varepsilon_{cu} - \varepsilon_y} \right) b d' + \frac{f'_y}{f_y} A'_s = \overline{\rho'_{smin}} b d' + \frac{f'_y}{f_y} A'_s$$

برای بتن ها و فولاد های متداول، مقدار $\overline{\rho'_{smin}}$ در جداول پیوست آمده است.

با توجه به توضیحات قبل، می توان جاری شدن و یا جاری نشدن فولادهای فشاری و کششی را به صورت زیر بررسی کرد:

فولاد های کششی جاری می $\rightarrow A_s \leq \overline{A_{sb}}$ اگر

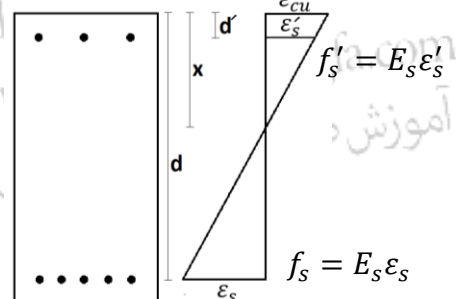
فولاد های فشاری جاری می $\rightarrow A_s \geq \overline{A_{smin}}$ اگر

بعد از تعیین جاری شدن و یا جاری نشدن فولادهای فشاری و کششی، با برقراری تعادل نیرویی مقطع می توان ارتفاع بلوک فشاری در زمان شکست را بدست آورد و همچنین با برقراری تعادل لنگر حول نقطه موقعیت فولادهای کششی، می توان مقاومت خمشی مقطع در زمان شکست را بدست آورد:

$$\phi_s A_s f_s = \alpha_1 \phi_c f_c b a + \phi_s A'_s f'_s$$

$$f_s = E_s \varepsilon_{cu} \left(\frac{a}{x} - 1 \right) = E_s \varepsilon_{cu} \left(\frac{\beta_1 d}{a} - 1 \right)$$

$$f'_s = E_s \varepsilon_{cu} \left(1 - \frac{d'}{x} \right) = E_s \varepsilon_{cu} \left(1 - \frac{\beta_1 d'}{a} \right)$$



الف) فولادهای کششی جاری شود ($f_y = f'_s$) ، فولادهای فشاری جاری شود ($f'_s = f_y$) / شکست نرم

$$a = \frac{\phi_s (A_s f_y - A'_s f'_y)}{\alpha_1 \phi_c f_c b}$$

$$M_r = \alpha_1 \phi_c f_c b a (d - a/2) + \phi_s A'_s f'_y (d - d')$$

ب) فولادهای کششی جاری شود ($f_s = f_y$) ، فولادهای فشاری جاری نشود ($f'_s \leq f_y$) / شکست نرم

$$a^2 + \left[\frac{\phi_s (E_s \varepsilon_{cu} A'_s - A_s f_y)}{\alpha_1 \phi_c f_c b} \right] a - \frac{\phi_s E_s \varepsilon_{cu} A'_s \beta_1 d'}{\alpha_1 \phi_c f_c b} = 0$$

$$M_r = \alpha_1 \phi_c f_c b a (d - a/2) + \phi_s A'_s f'_s (d - d')$$

پ) فولادهای کششی جاری نشود ($f_s \leq f_y$) ، فولادهای فشاری جاری نشود ($f'_s \leq f_y$) / شکست ترد

$$a^2 + \left[\frac{\phi_s E_s \varepsilon_{cu} (A'_s + A_s)}{\alpha_1 \phi_c f_c b} \right] a - \frac{\phi_s E_s \varepsilon_{cu} \beta_1 (A'_s d' + A_s d)}{\alpha_1 \phi_c f_c b} = 0$$

$$M_r = \alpha_1 \phi_c f_c b a (d - a/2) + \phi_s A'_s f'_s (d - d')$$

ت) فولادهای کششی جاری نشود ($f_s \leq f_y$) ، فولادهای فشاری جاری شود ($f'_s = f'_y$) / شکست ترد

$$a^2 + \left[\frac{\phi_s(A'_s f_y' + E_s \varepsilon_{cu} A_s)}{\alpha_1 \phi_c f_c b} \right] a - \frac{\phi_s E_s \varepsilon_{cu} A_s \beta_1 d}{\alpha_1 \phi_c f_c b} = 0$$

$$M_r = \alpha_1 \phi_c f_c b a (d - a/2) + \phi_s A'_s f_y' (d - d')$$

مقدار حداکثر فولاد کششی مقطع با فولاد فشاری (ρ_{max}) نیز به صورت زیر بدست می‌آید:

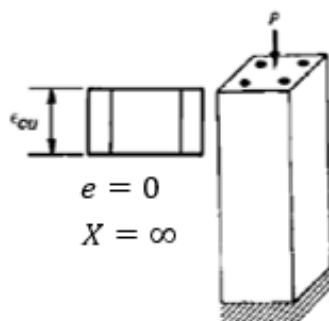
$$\overline{\rho_{max}} = \rho_{max} + \frac{f'_s}{f'_v} \rho'$$

$$Y_p = \frac{\sum A_{c_i} Y_i + \sum (m-1) A_{s_i} Y_i}{\sum A_{c_i} + \sum (m-1) A_{s_i}}$$

$$X_p = \frac{\sum A_{c_i} X_i + \sum (m-1) A_{s_i} X_i}{\sum A_{c_i} + \sum (m-1) A_{s_i}}$$

مرکز پلاستیک ستون:

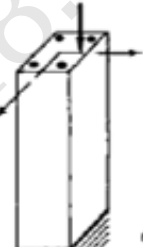
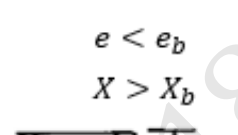
با فرض



$$N_{\text{sum}} = [\alpha \phi f_z (A_x - A_y) + \phi f_y A_x]$$

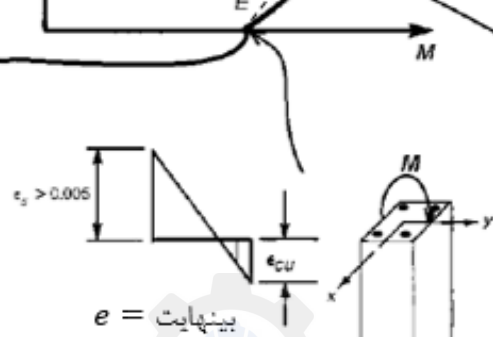
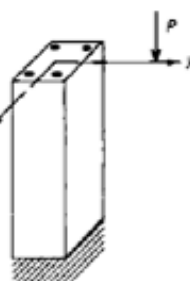
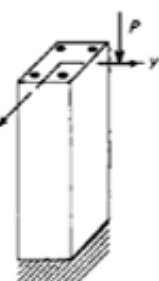
$$N_{rm} = -/\lambda [\alpha \phi f_c (A_x - A_y) + \phi f_y A_y]$$

$$N_{\text{min}} = -1/15 [\alpha \phi f_c (A_x - A_y) + \phi f_y A_x]$$



Balanced failure

$$X = X_k$$



ظرفیت خمثی خالص عضو:

(همانند تیر ها)

دوربیج ها در ستون:

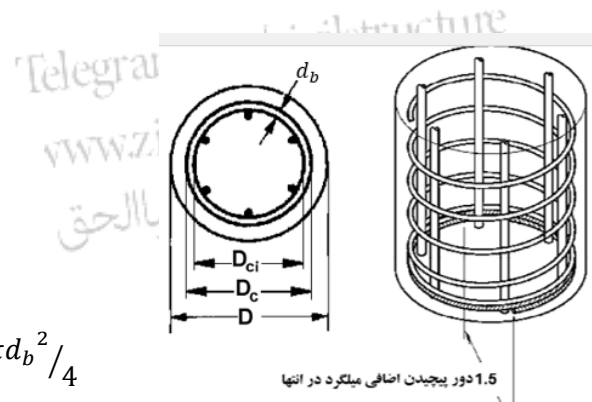
$$\rho_s = \frac{\text{حجم آرماتور دوربیج}}{\text{حجم کل هسته}} = \frac{\pi(D_c - d_b)d_b^2}{SD_{ci}^2} \cong \frac{\pi d_b^2}{SD_{ci}} = \frac{4A_{sp}}{SD_{ci}}$$

تشخیص فولاد خاموت

$$\rho_{s,min} = 0.6 \left(\frac{A_g}{A_c} - 1 \right) \frac{\phi_c f_c}{\phi_s f_y} \quad \rho_s \geq \rho_{s,min} \rightarrow S \text{ بدست می آید}$$

$$A_g = \pi D^2 / 4 \quad A_c = \pi D_c^2 / 4 \quad A_{ci} = \pi D_{ci}^2 / 4 \quad A_{sp} = \pi d_b^2 / 4$$

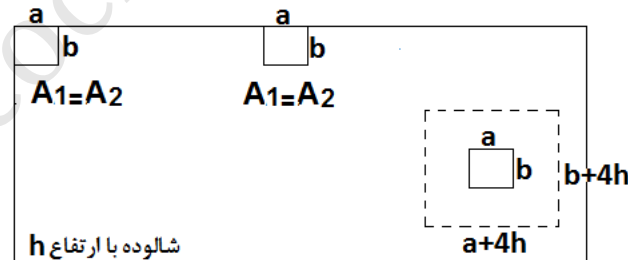
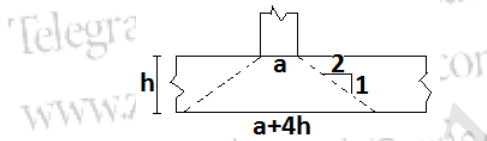
فاصله محور به محور هر گام دوربیج $S=$



مقاومت انتکایی (ص ۲۰۲)

نیرو ها و لنگرهای پای ستون، باید با عملکرد انتکایی بتن و کشش و فشار در میگردهای انتظار، به شالوده منتقل شود.

$$0.85 \phi_c f_c A_1 \sqrt{\frac{A_2}{A_1}} \leq 2 \times 0.85 \phi_c f_c A_1 = \text{ مقاومت انتکایی بتن}$$



برش و پیچش

$$V_r = V_c + V_s \leq V_{r,max} \rightarrow V_{r,max} = 0.25 \phi_c f_c b_w d$$

۱-۱-۳-۱۵-۹ برای اعضایی که تحت اثر برش و خمش قرار دارند:

$$V_c = v_c b_w d \quad (3-15-9)$$

در این رابطه v_c با استفاده از رابطه (۴-۱۵-۹) محاسبه می شود:

$$(4-15-9)$$

جدول

$$v_c = 0.2 \phi_c \lambda \sqrt{f_c}$$

۲-۱-۳-۱۵-۹ برای اعضایی که تحت اثر برش و خمش و فشار محوری قرار دارند:

$$V_c = v_c \left(1 + \frac{N_u}{12 A_g} \right) b_w d \quad (5-15-9)$$

۳-۱-۳-۱۵-۹ برای اعضایی که تحت اثر همزمان برش، خمش و کشش محوری قرار دارند:

$$V_c = v_c \left(1 + \frac{N_u}{3 A_g} \right) b_w d \geq \cdot \quad (6-15-9)$$

در این رابطه، N_u منفی است.

۱-۲-۳-۱۵-۹ برای اعضایی که تحت اثر همزمان برش و خمش قرار دارند:

$$V_c = \left(0.95 v_c + 12 \rho_w \frac{V_u d}{M_u} \right) b_w d \leq V_{cmax} \quad (7-15-9)$$

$$V_{cmax} = 1.75 v_c b_w d \quad \frac{V_u d}{M_u} \leq 1 \quad \rho_w = \frac{A_s}{b_w d}$$

جداول

در محاسبه V_c از رابطه (۷-۱۵-۹) کمیت $\frac{V_u d}{M_u}$ باید بزرگتر از واحد اختیار شود. لنگر خمشی

نهایی M_u لنگری است که همزمان با نیروی برشی نهایی V_u بر مقطع مورد نظر اثر می‌کند.

۲-۲-۳-۱۵-۹ برای اعضایی که تحت اثر همزمان برش و خمش و فشار محوری قرار دارند:

در این حالت برای محاسبه V_c می‌توان رابطه (۷-۱۵-۹) را به کار برد با این تفاوت که در آن به جای M_u مقدار M_m از رابطه (۸-۱۵-۹) را جایگزین نموده و کمیت $\frac{V_u d}{M_u}$ را نیز به مقدار واحد

محدود نکرد.

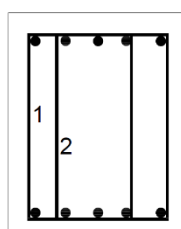
$$M_m = M_u - N_u \left(\frac{h-d}{\lambda} \right) \quad (8-15-9)$$

مقدار V_c در هر حال باید بزرگتر از مقدار به دست آمده از عبارت (۹-۱۵-۹) در نظر گرفته شود:

$$V_{cmax} = 1.75 v_c \sqrt{1 + \frac{N_u}{3 A_g} b_w d} \quad (9-15-9)$$

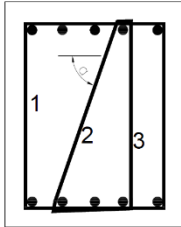
در صورتی که مقدار M_m در رابطه (۸-۱۵-۹) منفی گردد، V_c معادل مقدار حاصل از عبارت

(۹-۱۵-۹) منظور می‌گردد.

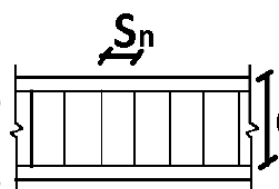


$$V_s = \phi_s f_{yv} \left(\frac{A_{sv}}{S_n} \right) d$$

$$\left(\frac{A_{sv}}{S_n} \right) = \left(\frac{A_{sv}}{S_n} \right)_1 + \left(\frac{A_{sv}}{S_n} \right)_2 + \left(\frac{A_{sv}}{S_n} \right)_3 + \dots$$



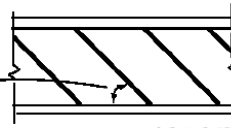
$$\left(\frac{A_{sv}}{S_n} \right) = \left(\frac{A_{sv}}{S_n} \right)_1 + \left(\frac{A_{sv}}{S_n} \right)_2 \sin \alpha + \left(\frac{A_{sv}}{S_n} \right)_3 + \dots$$



اموزش طراحی سازه ضیاالحق



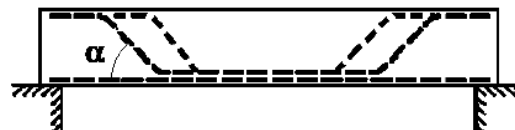
$$V_s = \phi_s f_{yv} \left(\frac{A_{sv}}{S_n} \right) d (\sin \alpha + \cos \alpha) \quad \alpha \geq 45^\circ$$



$$V_s = \phi_s f_{yv} A_{sv} \sin \alpha \leq V_{s_{max}} \quad V_{s_{max}} = 1.5 v_c b_w d$$



$$V_s = 0.75 \phi_s f_{yv} \left(\frac{A_{sv}}{S_n} \right) d (\sin \alpha + \cos \alpha) \leq V_{s_{max}} \quad V_{s_{max}} = 2.5 v_c b_w d$$



در صورتی که مقدار T_u از مقدار $0.25 T_{cr}$ کمتر باشد، طراحی برای پیچش ضرورتی ندارد.

$$T_{cr} = 1.9 \left(\frac{A_c^2}{P_c} \right) v_c = 1.9 \left(\frac{A_c^2}{P_c} \right) \times 0.2 \phi_c \lambda \sqrt{f_c} \rightarrow T_{cr} = 0.38 \phi_c \lambda \sqrt{f_c} \left(\frac{A_c^2}{P_c} \right)$$

$$T_s = 2 \phi_s A_o A_t \frac{f_{yv}}{S_n} = 1.7 \phi_s A_{oh} A_t \frac{f_{yv}}{S_n}$$

$$\left(\frac{A_{sv}}{S_n} + \frac{2 A_t}{S_n} \right)_{min} = \underbrace{0.06 \frac{\sqrt{f_c}}{f_{yv}}}_{\text{جدول}} b_w$$

۷-۱۰-۱۵-۹ حداکثر تنفس در مقاطع قوطی شکل از رابطه (۲۱-۱۵-۹) و در مقاطع توپر از رابطه (۲۲-۱۵-۹) بدست می آید.

$$\frac{V_u}{b_w d} + \frac{T_u P_h}{\sqrt{A_{oh}}} \leq 0.25 f_{cd} \quad (21-15-9)$$

$$\frac{V_u}{b_w d} \sqrt{\left(\frac{V_u}{b_w d} \right)^2 + \left(\frac{T_u P_h}{\sqrt{A_{oh}}} \right)^2} \leq 0.25 f_{cd} \quad (22-15-9)$$

$$V_r = \lambda \phi_s f_y A_{vf} (\mu \sin \alpha_f + \cos \alpha_f) \leq V_{r_{max}}$$

$$V_{r_{max}} = \min[6.5 \phi_c A_{cv}, 0.25 \phi_c f_c A_{cv}]$$

$$V_r = \lambda \mu \phi_s f_y A_{vf} \leq V_{r_{max}}$$

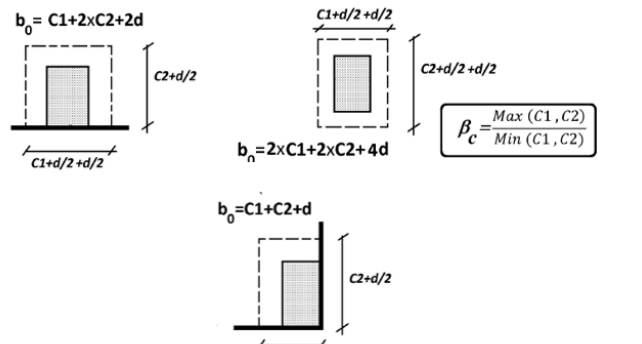
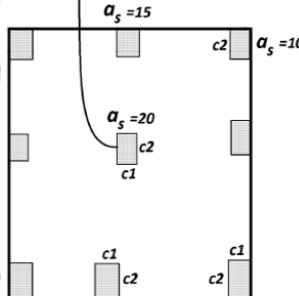
$$V_{r_{max}} = \min[6.5 \phi_c A_{cv}, 0.25 \phi_c f_c A_{cv}]$$

$$V_r = \lambda \mu (\phi_s f_y A_{vf} + N_u) \leq V_{r_{max}}$$



برش پانچ (برش دوطرفه):

$$V_c = \min \left\{ \begin{array}{l} V_c = (1 + \frac{\gamma}{\beta_c}) v_c b_o d \\ V_c = (\frac{\alpha_s d}{b_o} + 1) v_c b_o d \\ V_c = \gamma v_c b_o d \end{array} \right.$$



الف) فولاد برشی وجود ندارد:

ب) فولاد برشی وجود دارد:

(۳۶-۱۵-۹)

ب) مقدار V_s , با استفاده از ضوابط بند ۴-۱۵-۹ محاسبه می شود.

$$V_s = \phi_s f_{yv} \left(\frac{A_{sv}}{S_n} \right) d$$

$$V_{rmax} = 3 v_c b_0 d$$

۱۷-۱۵-۹-انتقال لنگر خمثی در اتصالات دال به ستون

در مواردی که لنگر خمثی متعدد نشده ای، M_u , ناشی از بارهای قائم، باد یا زلزله باید بین دال یدون تیر به ستون منتقل شود، قسمتی از آن M_{uf} , با عملکرد خمثی و بقیه آن، M_{uv} , با اثر نیروی برشی خارج از مرکزی که در اطراف ستون در دال یا کتیبه دال ایجاد می شود، منتقل می شود.

$$M_u = M_{uf} + M_{uv}$$

= بعد مربوط به محیط بحرانی برش سوراخ شدگی که به فاصله $\frac{d}{2}$ از لبه تکیه گاه قرار دارد b_1

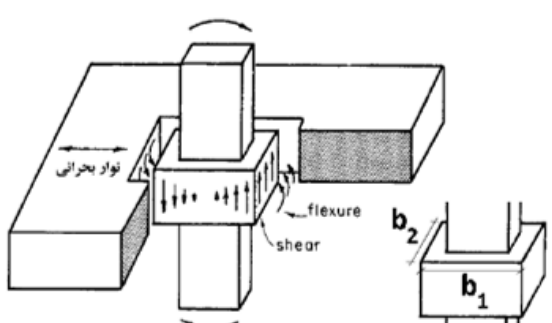
$$M_{uf} = \frac{M_u}{1 + \frac{2}{3} \sqrt{\frac{b_1}{b_2}}}$$

و در امتداد محور طولی نوار پوششی می باشد، میلی متر

= بعد مربوط به محیط بحرانی برش سوراخ شدگی که به فاصله $\frac{d}{2}$ از لبه تکیه گاه قرار دارد b_2

و در امتداد محور عرضی نوار پوششی می باشد، میلی متر

$$M_{uv} = \left(1 - \frac{1}{1 + \frac{2}{3} \sqrt{\frac{b_1}{b_2}}} \right) M_u$$



$$\tau_{shear} = \frac{M_{uv} \times y}{b_2 b_1^3 / 12} \quad , \quad \tau_{shear max} = \frac{M_{uv}}{b_2 b_1^2 / 6}$$

رسانه صیاالحق



کمانش و لاغری

$$\psi_A = \frac{(1 \text{ or } 0.7) \times \sum \left(\frac{EI}{L} \right)^A \text{ سطون ها}}{(0.5 \text{ or } 0.35) \times \sum \left(\frac{EI}{L} \right)^A \text{ تیر ها}} = \frac{2 \times \sum \left(\frac{EI}{L} \right)^A \text{ سطون ها}}{\sum \left(\frac{EI}{L} \right)^A \text{ تیر ها}}$$

توضیحات:

$$\psi_m = \frac{\psi_A + \psi_B}{2}$$

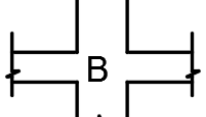
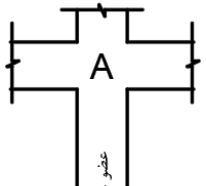
$$\psi_{min} = \min(\psi_A, \psi_B)$$

۲-۵-۱۶-۹ مقدار k در قطعات فشاری مهار شده را می توان برابر با یک و یا گوچکترین دو مقدار

به دست آمده از روابط (۲-۱۶-۹) و (۳-۱۶-۹) منظور نمود.

$$k = \cdot / \sqrt{1 + \psi_m} \leq 1 \quad (2-16-9)$$

$$k = \cdot / \sqrt{1 + \psi_{min}} \leq 1 \quad (3-16-9)$$

۳-۵-۱۶-۹ مقدار k در قطعات فشاری مهار نشده ای که در دو انتهای محدود باشد با استفاده از

رابطه (۴-۱۶-۹) یا رابطه (۵-۱۶-۹) به دست می آید:

در مواردی که $\psi_m < 2$ باشد:

$$(4-16-9)$$

و در مواردی که $\psi_m \geq 2$ باشد:

$$(5-16-9)$$

$$k = (1 - \cdot / \sqrt{1 + \psi_m}) \sqrt{1 + \psi_m} \geq 1$$

$$k = \cdot / \sqrt{1 + \psi_m}$$

۴-۵-۱۶-۹ مقدار k در قطعه فشاری مهار نشده ای که یک انتهای آن مفصلی باشد با استفاده از

رابطه (۶-۱۶-۹) به دست می آید:

$$k = 2 + \cdot / 2\psi \quad (6-16-9)$$

که در آن ψ مربوط به انتهای غیر مفصلی است.

۷-۱۶-۹: ضوابط اثر لاغری (ص ۲۴۴)

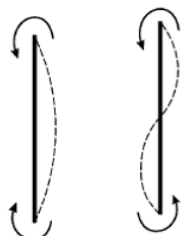
۱-۷-۱۶-۹ در قطعات فشاری مهار شده در صورتی که

$$\frac{KL_u}{r} \leq \min \left[34 - 12 \frac{M_1}{M_2}, 40 \right] \rightarrow \text{از اثر لاغری صرفنظر می شود}$$

$$\frac{M_1}{M_2} = \frac{\text{کوچکترین لنگر دو انتهای}}{\text{بزرگترین لنگر دو انتهای}}$$

دقت شود که :

$$\frac{M_1}{M_2} > \cdot \quad \frac{M_1}{M_2} < \cdot$$

۲-۷-۱۶-۹ در قطعات فشاری مهار نشده در صورتی که $\frac{l_u}{r} \leq 22$ باشد، می توان از اثر لاغری

صرفنظر کرد.

تغییر شکل و ترک خوردگی

(الف) در وسط دهانه اعضای با تکیه گاه های ساده و در تکیه گاه اعضا طرہای از رابطه (۱-۱۷-۹)

Page 55

$$I_e = I_{cr} + (I_g - I_{cr}) \left(\frac{M_{cr}}{M_a} \right)^r \leq I_g$$

Page 56

محاسبه می شود:

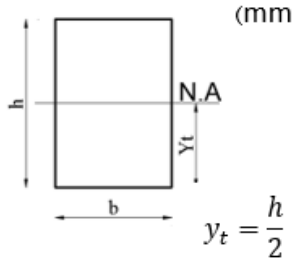
$$M_{cr} = \frac{f_r I_g}{y_t}$$

$$f_r = 0.6 \sqrt{f_c}$$

محاسبه لنگر ترک خوردگی

مدول گسیختگی بتن (مقاومت کششی بتن) : f_r

فاصله محور خنثی در مقطع
ترک نخورده ، بدون
درنظر گرفتن اثر آرماتورها از
دورترین تار کششی (بر حسب

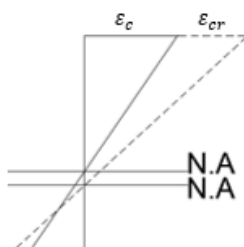


ب) در قطعات یکسره، ممان اینرسی مؤثر برابر با مقدار متوسط ممان اینرسی مؤثر قطعه که براساس مشخصات مقاطع بحرانی در وسط دهانه و بر روی تکیه گاهها و با استفاده از رابطه (۴-۱۷-۹) محاسبه شده باشد، در نظر گرفته می شود. در اعضا یکسره میله ای ممان اینرسی مؤثر را می توان برابر با مقدار این ممان اینرسی در مقطع بحرانی، در وسط دهانه منظور کرد.

$$I_e = \frac{1}{4} (I_{eL} + 2I_{em} + I_{eR}) \quad (4-17-9)$$

نکته: عامل اصلی اضافه افتادگی دراز مدت ، خرز در بتن می باشد.

نکته: به علت خرز در بتن، کرنش بتن زیاد می شود و در نتیجه تارخنثی پایین خواهد آمد. البته اندکی کرنش فولاد نیز افزایش می یابد. در این حالت ناحیه فشاری افزایش می یابد در نتیجه تنش فشاری کاهش می یابد.



۳-۴-۲-۱۷-۹ تغییر شکل اضافی

ایجاد شده در اعضا در طول زمان را که معمولاً «اضافه افتادگی

درازمدت» نامیده می شود، در صورت عدم استفاده از روش های تحلیلی دقیق تر، می توان از حاصلضرب تغییر شکل آنی ناشی از بار دائمی در ضریب λ که از رابطه (۵-۱۷-۹) مشخص شده

است، به دست آورد:

$$\Delta_{\text{اضافه افتادگی}} = \lambda \Delta_{\text{آنی}}$$

$$\Delta_{\text{آنی}} = \Delta_{\text{کل}} - \Delta_{\text{اضافه افتادگی}}$$

$$\lambda = \frac{\rho'}{1+5\rho'} \quad \rho' = \frac{A'_s}{A_o} = \frac{A'_s}{bd}$$

ر این رابطه λ مربوط به مقطع وسط دهانه در اعضا با تکیه گاه های ساده یا پیوسته و مقطع کیه گاه، در اعضا طرہای است. مقدار ضریب وابسته به زمان، λ، برابر با مقادیر زیر در نظر گرفته (برای بارهای مرده) می شود:

جدول ۱۷-۹-۰ مقدار ضریب λ وابسته به زمان

زمان ۵ سال یا بیشتر	زمان ۱۲ ماه
زمان ۱۲ ماه	زمان ۶ ماه
زمان ۶ ماه	زمان ۳ ماه
زمان ۳ ماه	

نکته: افزایش فولاد فشاری باعث کاهش تغییر شکل های دراز مدت می شود.

۲-۳-۱۷-۹ محاسبه عرض ترک

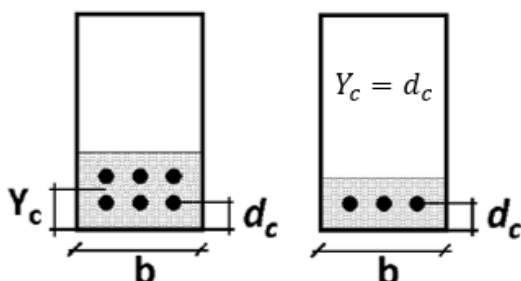
۱-۲-۳-۱۷-۹ در تیرها و دالهای یک طرفه مقدار عرض را، در صورت عدم انجام محاسبات دقیق تر،

می‌توان از رابطه زیر محاسبه کرد:

$$w = 11 \times 10^{-6} f_s^3 \sqrt{d_c A}$$

f_s = تنش در آرماتور کششی زیر اثر بارهای بهره‌برداری، مگاپاسکال

d_c = ضخامت قشر محافظه بتنی که برابر با فاصله دورترین تار کششی تا مرکز نزدیکترین میلگرد به آن در نظر گرفته می‌شود، میلی‌متر



$$A = \frac{2Y_c b}{n} \quad (\text{mm}^2)$$

n = تعداد میلگردها

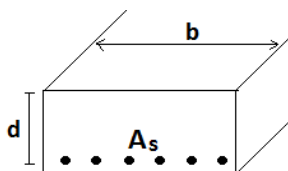
$$n = \frac{\text{مساحت کل میلگردها}}{\text{مساحت بزرگترین میلگرد}} \quad \leftarrow \text{در صورت یکی نبودن قطر میلگردها}\rightarrow$$

$$Y_c = \frac{\sum A_i Y_i}{\sum A_i} \quad \leftarrow \text{مرکز سطح آرماتورهای کششی}$$

dal, دیوار و شالوده

حداقل آرماتور دال ها (مقادیر رابطه زیر در جداول پیوست محاسبه شده است)

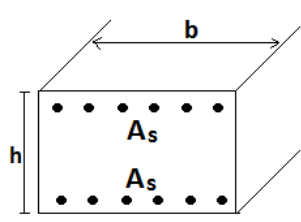
$$\frac{\text{مساحت آرماتور حداقل (حررات و جمع شدگی)}}{bh} \geq \rho_{smin} = \frac{0.16\sqrt{\phi_c f_c}}{\phi_s f_y}$$



حداقل آرماتور شالوده های نواری در ناحیه کششی

$$A_{smin} = \min \left[0.0025bd, \max \left(0.0015bd, 1.33A_s \right) \right] \quad \text{(محاسباتی)}$$

آرماتورهای حررات و جمع شدگی در شالوده ها:



$$A_{smin} = \frac{0.16\sqrt{\phi_c f_c}}{\phi_s f_y} \times bh$$

$$A_{smin} = (1.3 - 0.0003h) \frac{0.16\sqrt{\phi_c f_c}}{\phi_s f_y} \times bh$$

$$A_{smin} = \max \left[2800 \times b \text{ mm}^2, 2500 \times b \text{ mm}^2, 2100 \times b \text{ mm}^2, 0.7 \times \frac{0.16\sqrt{\phi_c f_c}}{\phi_s f_y} \times bh \right]$$

دقت شود که مقدار $\frac{0.16\sqrt{\phi_c f_c}}{\phi_s f_y}$ در جداول pge 64 جزو آمده است.

۴-۸-۲۰-۹ در شالوده های با ضخامت متغیر، می‌توان ضخامت را برای محاسبه حداقل مقدار

آرماتور کششی حرارت و جمع شدگی برابر با ضخامت شالوده فرضی هم حجم آن اختیار کرد.

مهار آرماتور ها

$$l_d = \left[\frac{0.86\phi_s f_y}{\sqrt{\phi_c f_c}} \frac{\alpha \beta \gamma \lambda}{C + k_{tr}} \right] d_b \geq 300 \text{ mm}$$

$$\frac{C + k_{tr}}{d_b} \leq 2.5$$

1.3 پرای میلگردهای افقی که حداقل ۳۰۰ میلیمتر بتن تازه در زیر آنها، در ناحیه طول گیرایی، ریخته می شوند.

1.4 سایر میلگردها

ضریب α (ضریب موقعیت)

برای میلگردهای که با ماده اپوکسی انود شده اند و در آنها ضخامت پوشش بتی روی میلگردها کمتر از $3d_b$ و فاصله آزاد میلگردها کمتر از $6d_b$ است

1.5 سایر میلگردهای که با ماده اپوکسی انود شده اند.

1.6 میلگردهای انود اپوکسی نشده اند.

1.7 پرای میلگردهای افقی که در یک محل قطع و یا وصله میشوند، فاصله مرکز میلگرد از نزدیکترین رویه بتن $d_b \leq 20 \text{ mm} \rightarrow 0.8$

$d_b > 20 \text{ mm} \rightarrow 1$ } ضریب γ (ضریب قطر)

1.8 پرای میلگردهای افقی که در یک محل قطع و یا وصله میشوند، فاصله مرکز میلگرد از نزدیکترین رویه بتن $d_b \leq 20 \text{ mm} \rightarrow 0.8$

$d_b > 20 \text{ mm} \rightarrow 1$ } ضریب λ (ضریب نوع بتن سبک)

1.9 پرای میلگردهای افقی که در یک محل قطع و یا وصله میشوند، فاصله مرکز میلگرد از نزدیکترین رویه بتن $d_b \leq 20 \text{ mm} \rightarrow 0.8$

$d_b > 20 \text{ mm} \rightarrow 1$ } ضریب λ (ضریب نوع بتن معمولی)

ضریب c (ضریب فاصله میلگردها از یکدیگر و از رویه

(نصف فاصله مرکز تا مرکز میلگردهای است که در یک محل قطع و یا وصله میشوند، فاصله مرکز میلگرد از نزدیکترین رویه بتن) $c = \min$

ضریب k_{tr} : ضریبی است که با توجه به مقدار آرماتور عرضی موجود در طول گیرایی از رابطه ریز

$$k_{tr} = \frac{0.12A_{tr}\phi_s f_y}{s n} = A_{tr}$$

سطح مقطع کل آرماتور عرضی قرار گرفته با فاصله s از یکدیگر در امتداد عمود برسفره میلگردهایی که مهار یا وصله می شوند، میلی متر مربع

$$l_{dc} = \max \left(\left[0.24 \frac{\phi_s f_y}{\sqrt{\phi_c f_c}} \right] d_b, [0.05 \phi_s f_y] d_b \right) \geq 200 \text{ mm}$$

$$l_{dh} = \left[0.24 k_1 k_2 \beta \lambda \frac{\phi_s f_y}{\sqrt{\phi_c f_c}} \right] d_b \geq \max(8d_b, 150 \text{ mm})$$

